Выводы:

У каждого второго ребенка, обучающегося в УО «Гродненская общеобразовательная специальная школа-интернат для детей с нарушениями зрения» выявлена врожденная патология органа зрения.

Среди врожденной патологии органа зрения наиболее часто диагностируется катаракта и врожденная миопия высокой степени.

У 52% пациентов патология органа зрения сочетается с другими врожденными аномалиями развития.

ЛИТЕРАТУРА

- 1. Антипова, С.И. Анализ заболеваемости и смертности подростков Республики Беларусь в 2005-2009 гг. / С.И.Антипова, И.И.Савина // Вопросы организации и информатизации здравоохранения. 2010. № 4. С. 42-57.
- 2. Басинский, С.Н. Клинические лекции по офтальмологии / С.Н.Басинский, Е.А.Егоров. – Санкт-Петербург: ГЭОТАР-Медиа, 2006. – 408 с.
- 3. Бойкова, Н.Н. Офтальмология: учебное пособие / Н.Н.Бойкота. М.: РИОР, 2007. 320 с.
- 4. Передерий, В.А. Глазные болезни: полный справочник / В.А.Передерий. М.: Эксмо, 2008. 704 с.
- 5. Тейлор, Д. Детская офтальмология /Д.Тейлор, К.Хойт. М: Издательство «БИ-НОМ», 2007. – 248 с.

МАТЕМАТИЧЕСКАЯ МОДЕЛЬ РАБОТЫ ЗАДНЕГО ОТДЕЛА СТОПЫ ДЛЯ МОДИФИКАЦИИ ВАРИАНТОВ ОПЕРАТИВНЫХ ВМЕШАТЕЛЬСТВ ПРИ ПЛОСКО – ВАЛЬГУСНОЙ ДЕФОРМАЦИИ СТОПЫ

Лашковский В.В., Игнатовский И.М.

УО «Гродненский государственный медицинский университет» Научно-исследовательский центр проблем ресурсосбережения Института тепло - и массообмена имени А.В.Лыкова НАН Беларуси

Актуальность математического моделирования определяется тем, что многие объекты недоступны для непосредственного изучения, а в медицине исследования, связанные с новыми направлениями не всегда можно проводить согласно морально-этическим принципам.

Цель исследования: создание математической модели заднего отдела стопы для рассмотрения вариантов хирургической коррекции плоско-вальгусной деформации стопы.

Материалы и методы. Для формирования математической модели стопы усилия в области заднего отдела стопы принимаем в качестве неизвестных: пяточная кость 1 (Рис. 1) находится в равновесии в каждый момент времени, поддерживаемая ахилловым сухожилием (2) и сухожильно — мышечно - апоневротическим комплексом подошвенной поверхности стопы (3), а также подтаранным (4) и таранно-пяточноладьевидным (5) суставами. Нагрузка костно-суставных элементов стопы передается вдоль силовых линий, которые в пределах заднего отдела исходят из областей прикрепления ахиллова сухожилия и связочносухожильно-мышечно-апоневротического комплекса подошвенной поверхности. Для коррекции положения пяточной кости, достаточно изменить направления усилий (М1 и М2), относительно бугра пяточной кости.

Ахиллово сухожилие представлно в виде равнодействующей силы N (рис.1), приложенной вдоль его центральной оси.

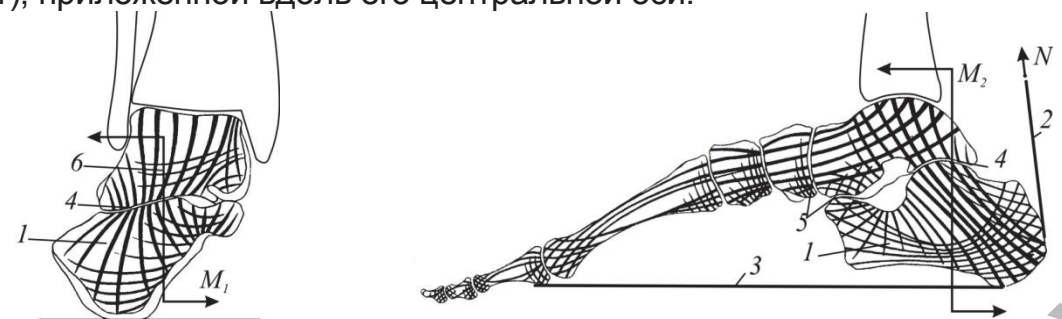


Рисунок 1. Распределение силовых линий: 1 — пяточная кость, 2 — ахиллово сухожилие, 3 - связочно-сухожильно-мышечно-апоневротический комплекс, 4 — подтаранный сустав, 5 - таранно-пяточно-ладьевидный суставы, 6 — таранная кость

Эффективность коррекции можно оценить по изменению величины и направления момента силы N относительно бугра пяточной кости. После дезинсерции наружной порции сухожилия и перемещения последней на медиальную поверхности пяточной кости ось О5 проходит через перемещенную часть сухожилия и работа заднего отдела стопы изменяется как во фронтальной, так и сагиттальной плоскостях (рис.2, 3).

Фронтальная плоскость. Равнодействующая N2 в области (1) создает пронационный момент относительно точки С. Наружная часть ахиллова сухожилия (1) (рис. 2), перемещается на внутренний край пяточной кости, вследствие чего момент от N2 изменяет свое действие на супинационное. Оставшаяся часть (2) ахиллова сухожилия создает супинационный эффект, который в дооперационном состоянии нивелировался пронационным эффектом перемещаемой части (1). Равнодействующая усилий N, располагавшаяся в точке С, смещается на ½ ширины ахиллова сухожилия, вызывая дополнительное супинационное усилие. Это приведет к возникновению момента, ротирующего пяточную кость внутрь и усилия, приподнимающего передний отдел пяточной кости.

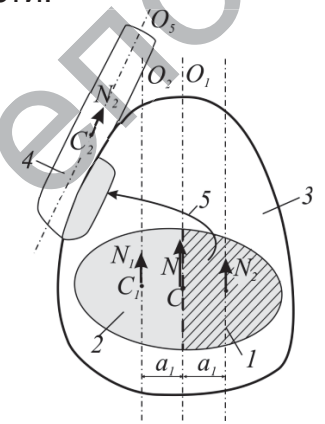


Рисунок 2 - Фронтальная плоскость сечения

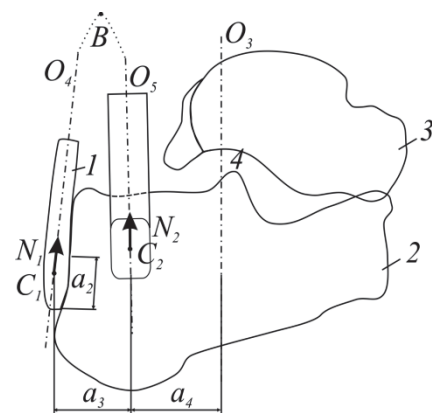


Рисунок 3 - Сагиттальная плоскость сечения

Верхняя часть сухожилия остается неподвижной в точке В, так как продольное рассечение выполняется на протяжении 5-7 см. Равнодействующая усилий N2 направлена вдоль оси О5, которая наклоняется относительно О2. Угол наклона определяется длиной рассеченной части сухожилия (для численной оценки принимаем 7 см), расстоянием его перемещения (принимается 1 см, при ширине сухожилия в области

прикрепления к пяточной кости 2 см): $arctg(1\,{
m cm}/7\,{
m cm}) \approx 8,1^{\circ}$. Уравнение равновесия (с учетом $N_1=N_2$) относительно точки С принимает вид:

$$N_1a_1+N_2\,2a_1/\cos(8,1^{\rm o})=N_1a_1+N_12a_1/\cos(8,1^{\rm o})=N_1(a_1+2a_1/\cos(8,1^{\rm o}))\neq 0$$
 Tak $a_1=a_2=20/4=5_{\rm MM,\ TO}$

$$N_1(a_1 + 2a_1/\cos(8,1^\circ)) = N_1(5 + 2 \cdot 5/\cos(8,1^\circ)) = 15,1N_1$$

Таки образом, супинационный момент увеличился в 1,5 раза.

Сагиттальная плоскость. Усилия N1 и N2 в дооперационном положении создают пронирующий эффект, так как стремятся прижать передний отдел пяточной кости к опорной поверхности (рис. 3). Наружная часть ахиллова сухожилия 1, перемещается кпереди на верхневнутренний край пяточной кости на расстояние а3 и ее новое положение определяет ось О5. Корригирующее усилие в сагиттальной плоскости складывается из двух составляющих: равнодействующей N1 оставшейся части и равнодействующей N2 перемещенной. Действие N1 остается неизменным. Момент усилия N2 относительно точки 4 уменьшается пропорционально расстоянию $(a_3 + a_4)$, так как значения сил N1 и N2 не изменяются. Это приводит к уменьшению величины сгибания переднего отдела пяточной кости. Для численной оценки корэффекта в сагиттальной регирующего плоскости $(a_3 + a_4) = 3,5$ см; величину перемещения а3 = 1,5 см; длину рассеченной части 7 см, ее горизонтальную проекцию – 1 см; тогда угол наклона О4 к вертикальной оси О3 равен $arctg(1/7) \approx 8,1^{\circ}$. Так как сухожилие разделяется на две равные части, то N1 = N2, и момент в дооперационном состоянии:

$$\begin{split} M_{\mathcal{A}} &= N_1(a_3 + a_4)/\cos(8,1^\circ) + N_2(a_3 + a_4)/\cos(8,1^\circ) = \\ &= 2N_1(a_3 + a_4)/\cos(8,1^\circ) = 2 \cdot N_1 \cdot 3,5/\cos(8,1^\circ) = 7,07N_1. \\ \text{После коррекции: } M_K &= N_1(a_3 + a_4)/\cos(8,1^\circ) + N_2a_4/\cos(8,1^\circ) = \\ &= N_1(a_3 + a_4)/\cos(8,1^\circ) + N_1a_4/\cos(8,1^\circ) = \\ &= N_1 \cdot 3,5/\cos(8,1^\circ) + N_1 \cdot 2/\cos(8,1^\circ) = 5,55N_1. \\ \text{Изменение момента в этом случае:} \\ M_{\mathcal{A}} - M_K &= 7,07N_1 - 5,55N_1 = 1,52N_1 \\ M_{\mathcal{A}} - M_1$$

Коррекция в сагиттальной плоскости составляет 27% за счет уменьшения усилия сгибания переднего отдела пяточной кости. Таким образом, корригирующий эффект после операции на уровне подтаранного сустава достаточен для динамической коррекции деформации у детей в процессе роста.

РЕЗУЛЬТАТЫ ЛЕЧЕНИЯ ПЛОСКО - ВАЛЬГУСНОЙ СТОПЫ У ДЕТЕЙ МЕТОДОМ РОТАЦИОННОЙ РЕИНСЕРЦИИ НАРУЖНОЙ ПОРЦИИ АХИЛЛОВА СУХОЖИЛИЯ

Лашковский В.В.

УО «Гродненский государственный медицинский университет»

Актуальность создания новых методов хирургической коррекции плоско-вальгусной деформации стопы и изучение результатов лечения сохраняется.

Материалы и методы. Нами за период 2008 – 2010 гг. выполнена хирургическая коррекция плоско - вальгусной деформации стопы (ПВДС) у 22 пациентов (37 стоп) путем проведения ротационной реинсерции наружной части ахиллова сухожилия по нашей методике. Оперативное лечение было направлено на изменение условий биомеханического функционирования заднего отдела стопы.

Результаты и их обсуждение. Проводилось клиническое, рентгенологическое и педобарометрическое обследование до и после операции (через 6 и 12 месяцев). В ходе предварительных исследований было установлено, что для диагностики и контроля проводимого лечения оптимально использовать педобарометрические данные, характеризующие первую, третью и четвёртую фазы периода опоры цикла шага [1,2].

В ходе первой фазы у пациентов с ПВДС нагружается преимущественно внутренняя часть пяточной области. На рис.1а до операции латеральный и медиальный бугорки нагружены практически одинаково. После выполнения корригирующих операций на обоих стопах, максимум подошвенного давления при касании пяткой поверхности располагается в области латерального бугорка, что позволяет утверждать о компенсированности пронации заднего отдела стопы (рис 1б). Это отмечено у 92,3% оперированных пациентов.